

Goldschber, Sunyer, Brodzus (1958)



$$t_{1/2} = 9.3 \text{ h}$$

Alektät  $P = (\sigma \cdot p_0)$  des Neutrinos beim EC

$\Rightarrow$  gleichzeitig Impulsrichtung und Spinrichtung des Neutrinos messen!

Elektronen Entzug: kein Impulsverlust des Kätholelektrons

$$\Rightarrow \vec{P}_R = -\vec{P}_\gamma$$

Richtung des Rückstoßes des  ${}^{152}\text{Sn}$  Kerns wird über Resonanz/loweszenz gemessen (961 keV) Gammastr.

Resonanzfluoreszenz findet normale Werte nicht statt! Wg.

Rückstoßenergie

Wenn Strahlerquelle nicht in Ruhe ist, sondern in Richtung auf die Streuer ( ${}^{152}\text{-Sn}$ ) zu bewegt (Doppler Effekt)

Kan Resonanz-Fluoreszenz stark finden.

Rückstoßimpuls bei  $\gamma$ -Quant mit Energie  $h\nu$

$$p_R(\gamma) = \frac{h\nu}{c}$$

kinetische Energie des Rückstoßkerns beträgt

$$E_R = \frac{p_R^2}{2m_R} = \frac{(h\nu)^2}{2m_R c^2}$$

$$h\nu = 961 \text{ keV}$$

$$m_R = 152$$

$$E_R = \frac{0,961}{2 \cdot 152 \cdot 938} \text{ eV} \approx \underline{\underline{3,2 \text{ eV}}}$$

Aufgrund Lebensdauer des Rumpfzustandes  $\tau(r^-) \approx 3 \cdot 10^{-14} \text{ sec}$

$$\Rightarrow \Delta E = \frac{t_0}{\tau} = \frac{0,658 \cdot 10^{-15}}{3 \cdot 10^{-14}} \text{ eV} = \underline{\underline{0,023 \text{ eV}}}$$

$\Rightarrow$  Überlapp des Emissionspektrums und des Absorptionspektrums ist minimal

Aus exakt Kernmasse  $\Rightarrow E_{\gamma} = 950 \text{ keV}$

$$p_R(\gamma) = \frac{E_\gamma}{c}$$

$$E_R(\gamma) = \frac{p_R(\gamma)}{2m_R} = \frac{E_\gamma}{2m_R c^2} = \underline{\underline{3,12 \text{ eV}}}$$

(3)

Falls Rückstoß genau  $\pi$  Richtung der nachfolgenden Gammaemission

$$P_R = P_R(\gamma) - P_R(\nu) = \frac{E_\nu - h\nu}{c} = 4 \cdot 10^{-4} \text{ eV}$$

d.h. heile Rückstöße kompensieren sich

$$E_\nu = E_{\text{exc}} + E_R(\gamma) - E_R = E_{\text{exc}} + 3,12 \text{ eV}$$

(klass. Doppler effekt)

$\Rightarrow$  Intensität  $\gamma$  des Emissionspektrums  $\omega(E) dE$  mit

$\omega Q(E)$  falls Emission des Neutrinos entgegen

der Emissionsrichtung des Photons statt frontal

$\Rightarrow$  "Richtungsmessung über Resonanzfluoreszenz"

Beobachtung des Spins des Neutrinos über Drehimpuls & helicity

$^{152m}\text{Eu}$  hat Kernspin  $J_i = 0$ , neg. Parität

$^{152}\text{Sn}^*$     "        "     $J_i = 1$     "

$\Rightarrow$  "erlaubter" Canov-Teller Übergang

$$\text{Drehimpulsselektivität: } \vec{j}_i + \vec{j}_e = \vec{j}_f + \vec{j}_\gamma \quad (4)$$

mit  $\vec{j}_i = 0$ ,  $j_e = \frac{1}{2}$ ,  $\vec{j}_f = 1$  und  $j_\gamma = \frac{1}{2}$

Flyricht des Neutrinos als Quantisierungsschreibe  
 $\Rightarrow \pi$ -Kopplung

$$n_e = n_{j_f} + n_\gamma$$

$$\text{Für } n_\gamma = +\frac{1}{2} \text{ gibt es zwei Möglichkeiten } n_{j_f} = -1, n_e = -\frac{1}{2}$$

und  $n_{j_f} = 0, n_e = +\frac{1}{2}$

d.h.  $n_{j_f} = +1$  ist verboten

Äquivalent für  $n_\gamma = -\frac{1}{2} \Rightarrow n_{j_f} = -1$  verboten

$\Rightarrow$  Longitudinaler Polarisations der Neutrinostrahlung hat  
 Polarisationsrichtung der  $^{152}\text{Sm}$  Kerne zur Richtung der  
 Neutrino Emission zur Folge!

Drehimpulsselektivität für  $861\text{ keV}$   $\gamma$  mit Emissionsdiamagnetismus  
 zur  $\rightarrow$ -Flyricht  $\vec{\zeta}(\gamma) = \vec{j}(861\text{ keV}) - \vec{j}(0)$

Photonen nur  $n_f = \pm 1$  annehmen

(4)

Aus  $n_f = +\frac{1}{2} \Rightarrow (n_{J_f} = -1,0) \Rightarrow n_f = -1$

$n_f = -\frac{1}{2} \Rightarrow +1,0 \Rightarrow n_f = +1$

Heißt d. Neutrinostrahl  $P(\gamma) = \langle \bar{\psi}_v | \rho_v(v) \rangle$ ,  
wird über die Zirkularpolarisation der diametral  
zur  $\gamma_0$ -Flugrichtung entstehend Gammastrahl bestimmt.

$$P(\gamma) = \langle \bar{\psi}_\gamma | \bar{\rho}(\gamma) \rangle$$

Resonanz d. Zirkularpolarisation des  $\gamma$ 's über UQ  
der Compton-Strahl an magnetisierter Gas

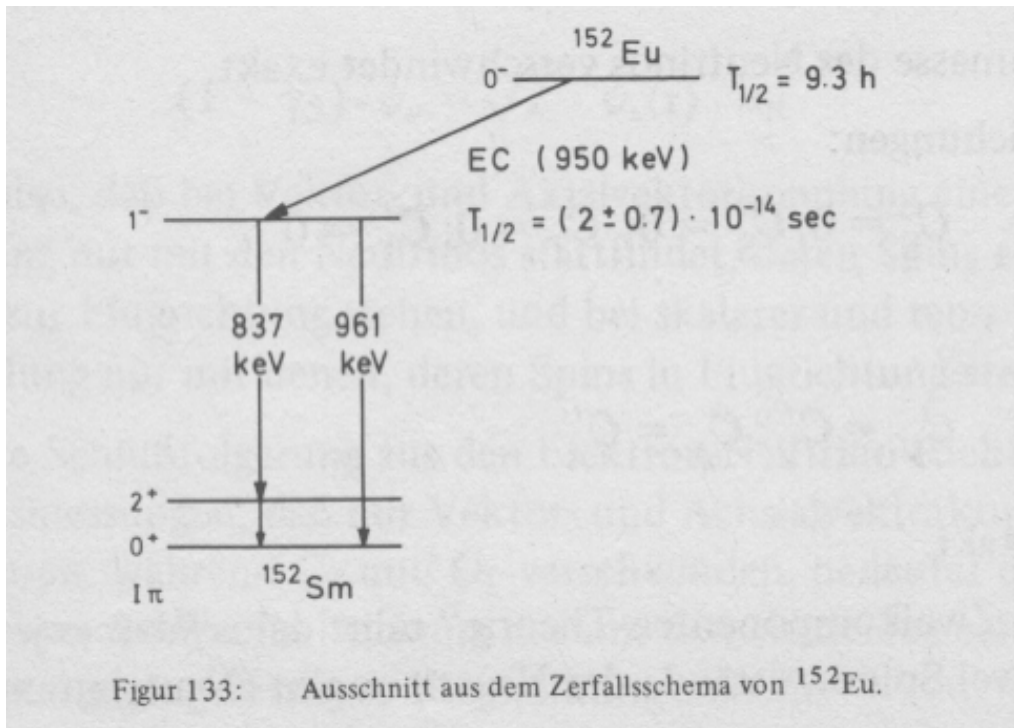
Experimentelle Aufbau  $\Rightarrow$  Folge

Experiment  $P(\gamma) = -0,66 \pm 0,15$

Da anal. Resonanzstrahl noch möglich ist, wenn der Winkel  
nicht genau  $180^\circ$  ist  $\Rightarrow$  Korrektur

$\Rightarrow$  Helizität des Neutrinos  $P(\gamma) = -1$

# Goldhaber Experiment



Bodenstedt

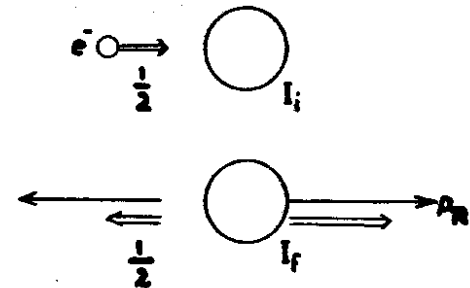
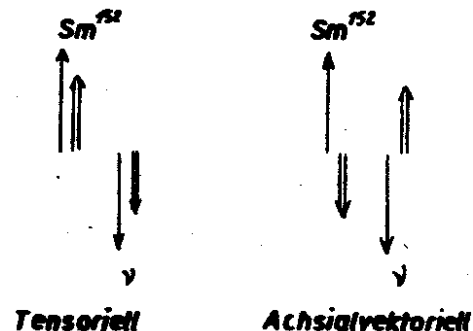
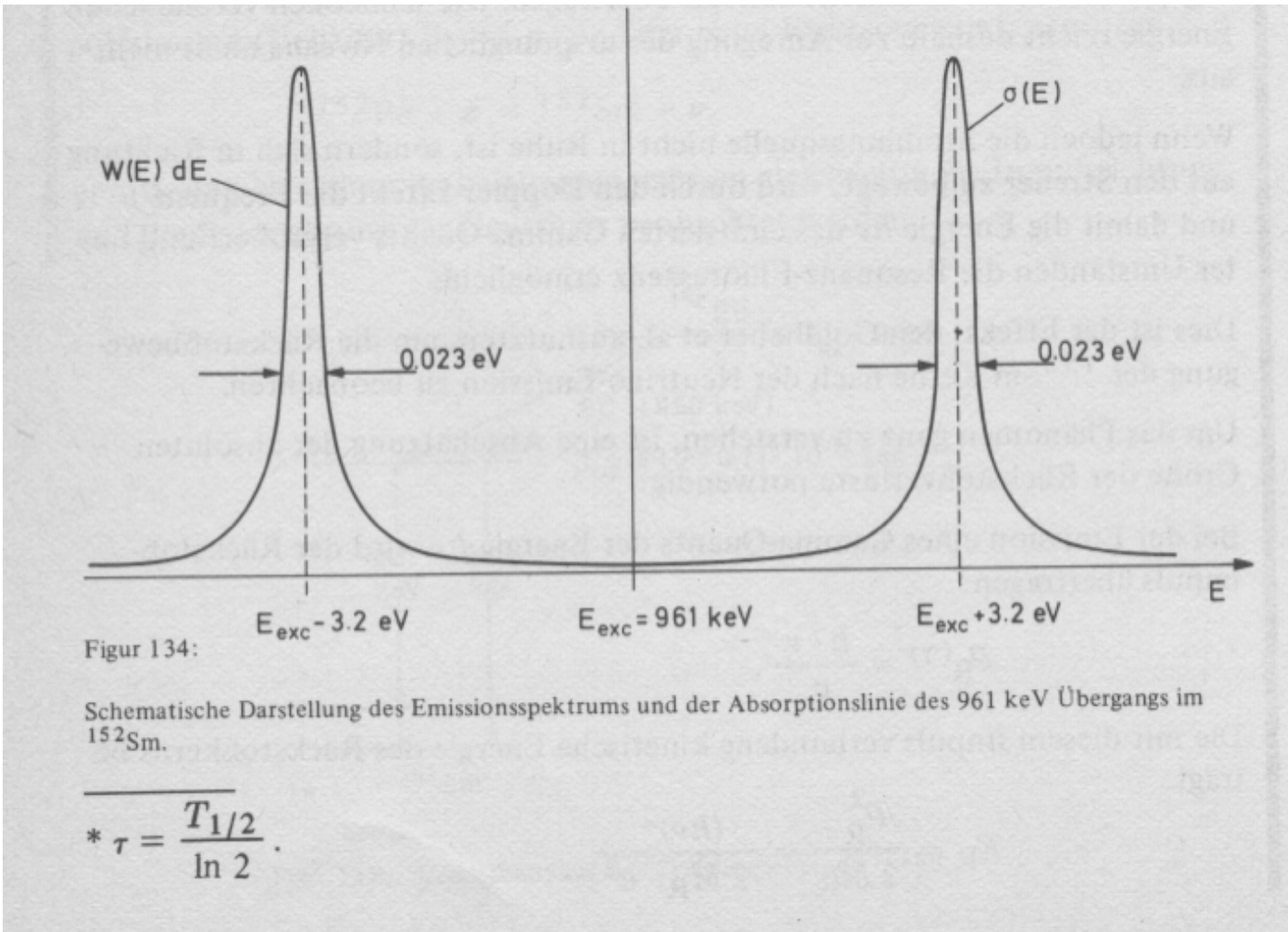


Fig. 10.63

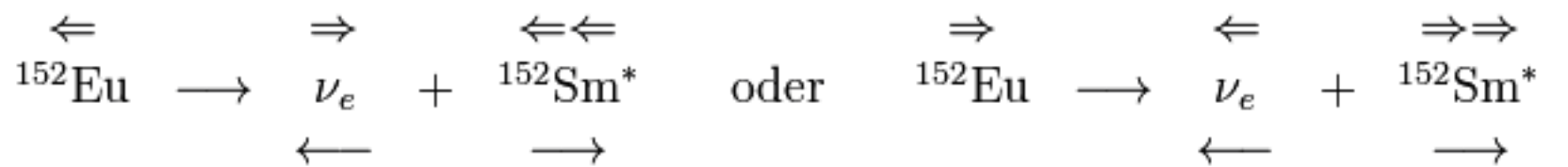


Marmier

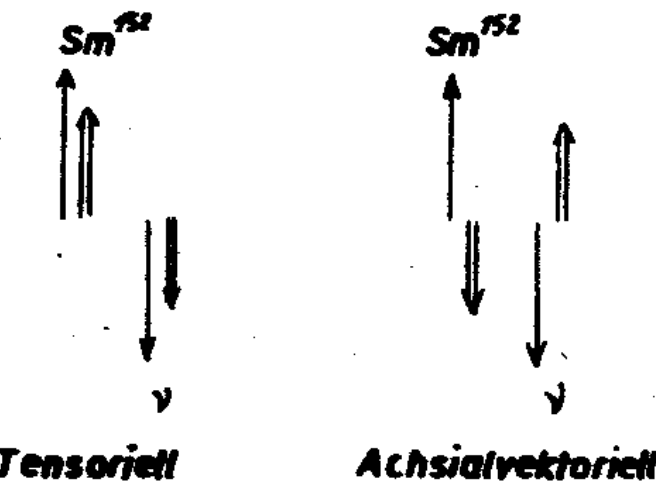
# Goldhaber Experiment



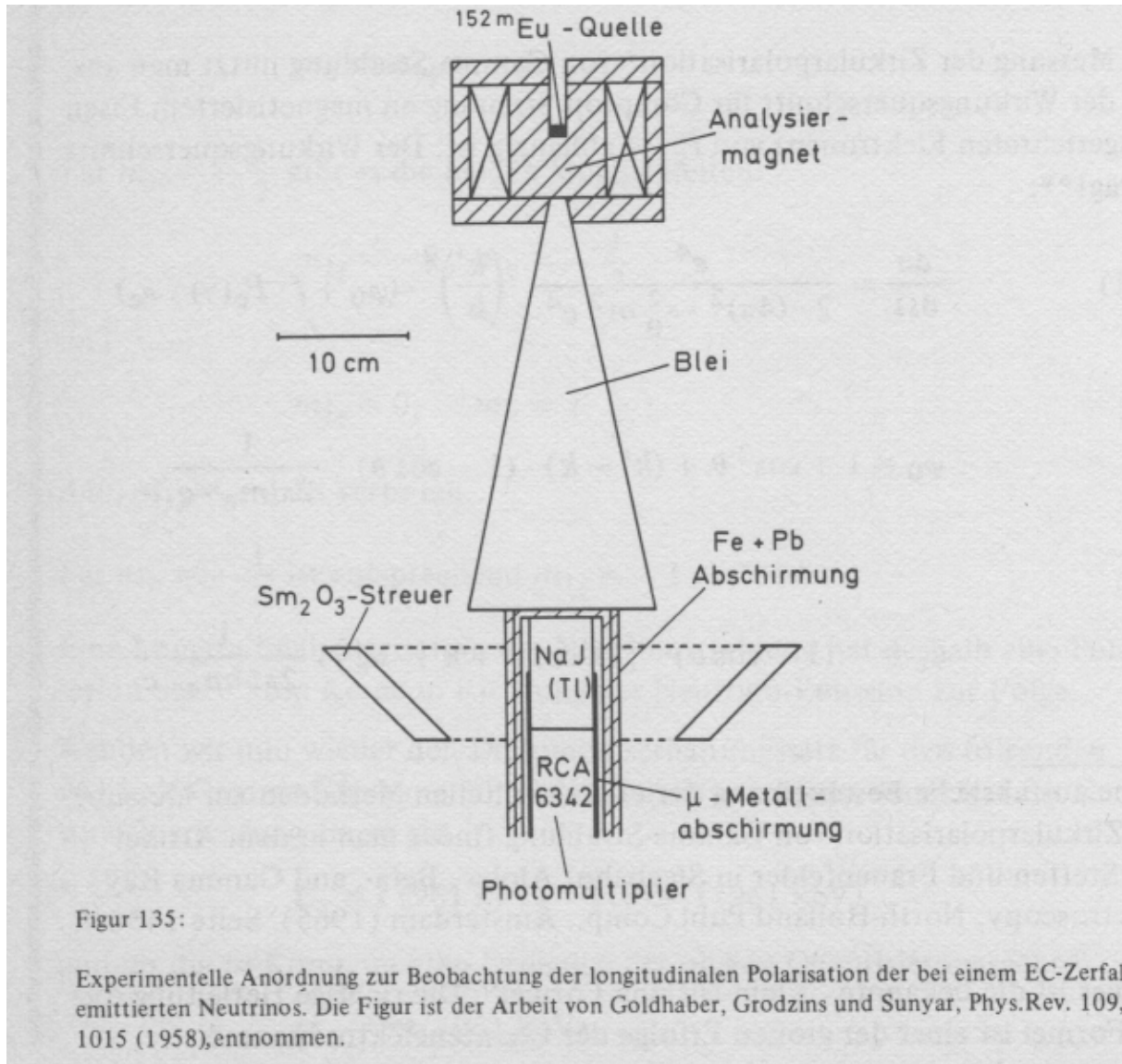
# Mögliche Spin-Kombinationen im Goldhaber-Experiment



$$\text{Helizität}(\gamma) = \text{Helizität(Sm)} = \text{Helizität}(\nu)$$



# Goldhaber Experiment



Erwachs : Axialvektorkopplung  $\rightarrow P(\gamma) = -1$

Wise Tensor-Kopplung  $\rightarrow P(\gamma) = +1$

$\Rightarrow$  „V-A“ Struktur d. Schw. WW

(5)

### Ladungskonjugation

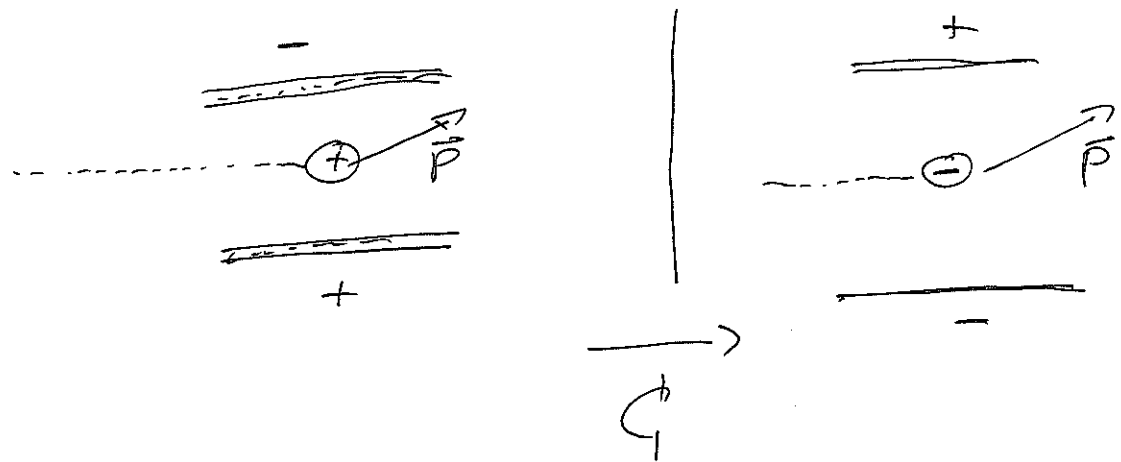
Teilchen beschreibt Kettenketone  $|q_{\text{gen}}\rangle$  := generic  
 $q_a$  für additive Q2  $B, S, L, \dots$

Operator der Ladungskonjugation ist definiert

$$C |q_{\text{gen}}\rangle = | - q_a \rangle$$

Ladungskonjugation wechselt Vorzeichen der additiven Q2 u.  
Aber Impuls, Spin ... bleiben unverändert!

wird auch "Teilchen-antiteilchen Konjugation" genannt  
alle neuen Q2 ( $B, S, L, \dots$ ) haben ihr Vorzeichen!



(6)

Gauß'sche  
gesetzte System angewandt  
wech

$$\langle \langle |q_x\rangle = C|q_x\rangle = |q_x\rangle \Rightarrow C^2 = 1$$

Faktor ist +1 oder -1,

$\Rightarrow$  Quantenzahl der Ladungskonfiguration  $h_c$

$$C|\pi^0\rangle = +1|\pi^0\rangle \quad || \\ (\text{Ladungsspin-1})$$

für Photon  $h_c = -1$

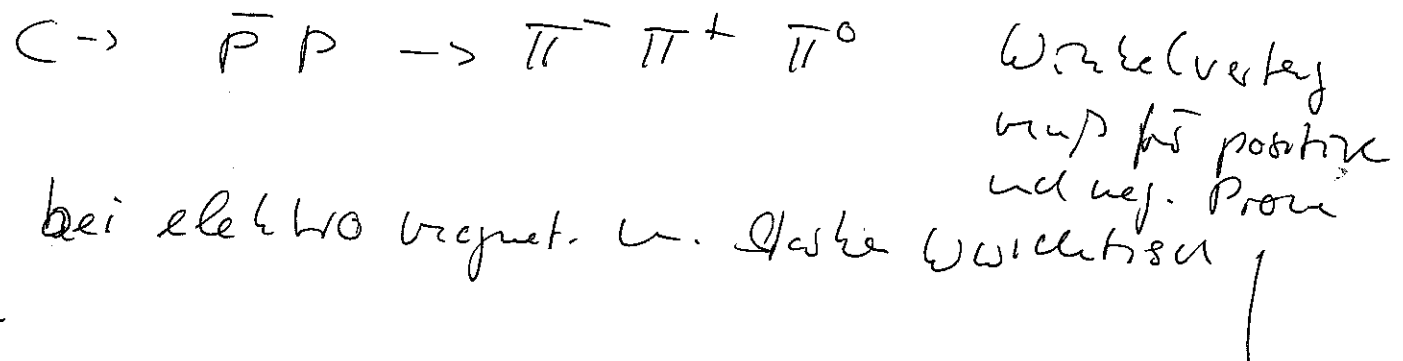
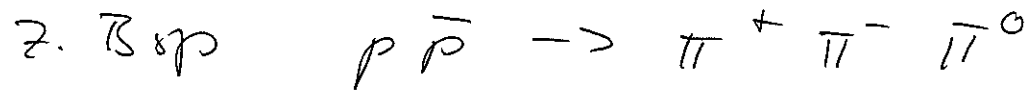
$$\pi^0 \rightarrow 2\gamma \quad \checkmark$$

$$\begin{array}{ll} \pi^0 \rightarrow 3\gamma & \text{verbote} \\ +1 & (-1)^3 \end{array}$$

$$\text{Experiment: } \frac{\pi^0 \rightarrow 3\gamma}{\pi^0 \rightarrow 2\gamma} < 3 \cdot 10^{-8}$$

(7)

Erhaltung für  $\zeta'$  bei hadronischer  $\psi\psi$



Zusatzebene

$$T: t \xrightarrow{T} -t, \quad \vec{x} \xrightarrow{T} \vec{x}$$

der klassisch  $p = \frac{dx}{dt}$

$$\Rightarrow \vec{p} \xrightarrow{T} -\vec{p} \quad (\text{Impuls})$$

$$\vec{j} \xrightarrow{T} -\vec{j} \quad (\text{Drehimpuls})$$

klassisch: Newton'sche Regl., Relativitätstheorie

Differentialgleich 2. Ordnung  $\Rightarrow$  invariant unter  $T$

(8)

$$Qn : \text{ ist } \frac{d \Psi(t)}{dt} = H \Psi(t)$$

nicht invariant für  $t \mapsto -t$

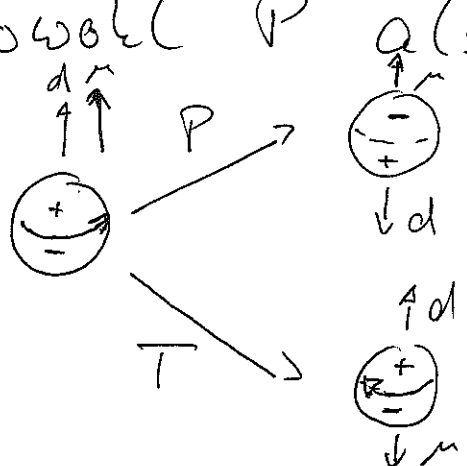
$[H, T] = 0$  wenn  $T \Psi(t)$  und  $\Psi(t)$  die gleiche Schrödinger GL. lösen

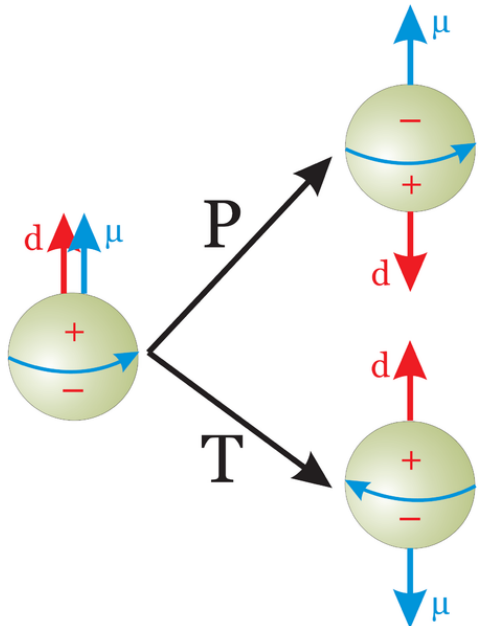
$$\text{nicht } T \Psi(t) = \Psi^*(-t)$$

$$\Psi(x, t) = e^{+i(px - Et)/\hbar}$$

$$T \Psi(x, t) = \Psi^*(x, -t) = e^{-i(-px + Et)/\hbar}$$

Elektrisches Dipolmoment der Teilchen verteilt sowohl  $P$  als auch  $T$  (Bsp. Neutron)





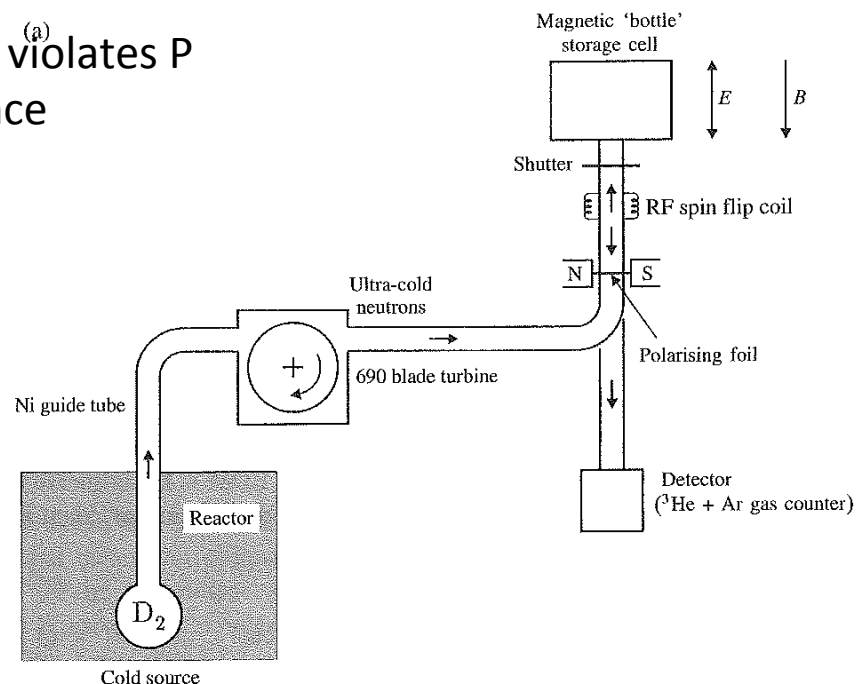
Principle of the EDM experiment at ILL Grenoble

Best limit  $<10^{26}$  e cm

New experiment under preparation at TUM (FRMII)

Targeted sensitivity:  $<10^{28}$  e cm

## (a) Neutron EDM violates P and T invariance



(b)

Measurement of spin precession frequency ( $v = \mu B / h$ ) of ultra cold neutrons (ca. 5 m/s) in a weak  $B$  field with a strong parallel  $E$ -field which reverses with time (electric dipole interaction)

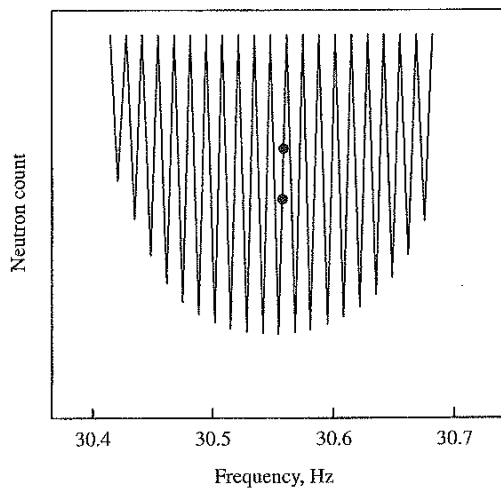


Fig. 3.7. (a) The apparatus at Grenoble for measuring the EDM of the neutron. (b) Neutron count rate as a function of precession frequency. To measure the EDM, the operations are confined to the two working points shown by the dots (after Pendlebury 1993).

# C, P und CP Transformationen angewandt auf Neutrino bzw. Anti-Neutrino Zustände

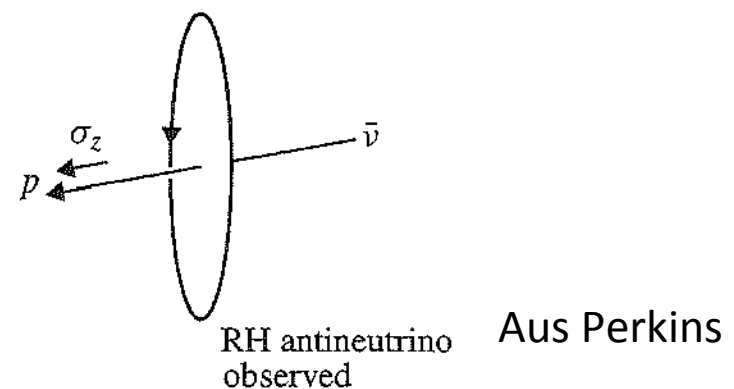
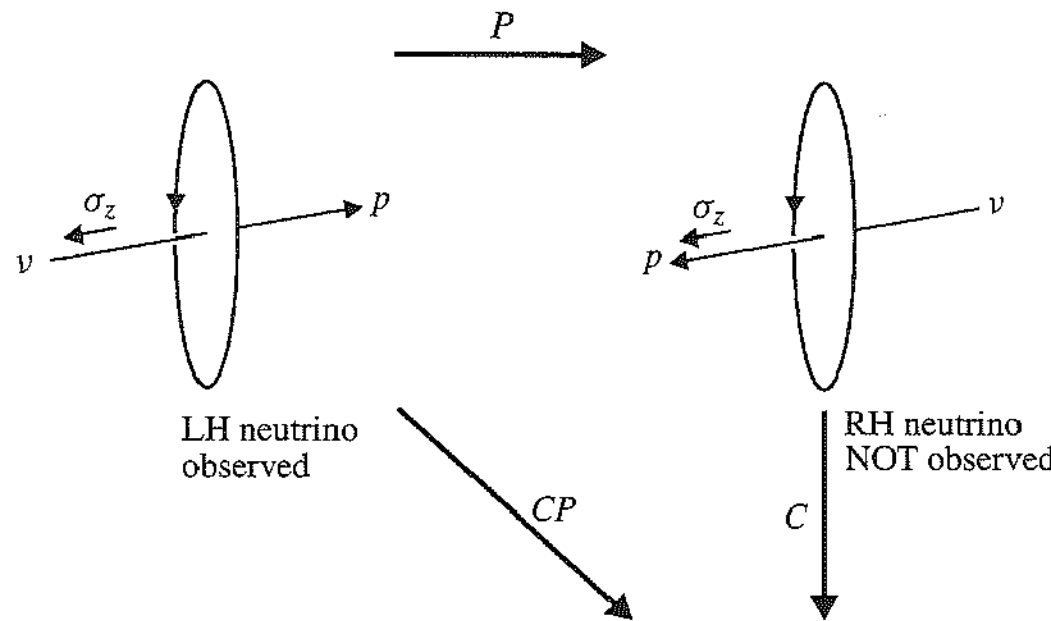


Table 3.2. *Effect of T and P operations*

Quantity		Effect of <i>T</i>	Effect of <i>P</i>
position	$\mathbf{r}$	$\mathbf{r}$	$-\mathbf{r}$
momentum	$\mathbf{p}$	$-\mathbf{p}$	$-\mathbf{p}$
spin	$\sigma$ , axial vector $(\mathbf{r} \times \mathbf{p})$	$-\sigma$	$\sigma$
electric field	$\mathbf{E}$ ( $= -\nabla V$ )	$\mathbf{E}$	$-\mathbf{E}$
magnetic field	$\mathbf{B}$ , axial vector	$-\mathbf{B}$	$\mathbf{B}$
magnetic dipole moment	$\sigma \cdot \mathbf{B}$	$\sigma \cdot \mathbf{B}$	$\sigma \cdot \mathbf{B}$
electric dipole moment	$\sigma \cdot \mathbf{E}$	$-\sigma \cdot \mathbf{E}$	$-\sigma \cdot \mathbf{E}$
longitudinal polarisation	$\sigma \cdot \mathbf{p}$	$\sigma \cdot \mathbf{p}$	$-\sigma \cdot \mathbf{p}$
transverse polarisation	$\sigma \cdot (\mathbf{p}_1 \times \mathbf{p}_2)$	$-\sigma \cdot (\mathbf{p}_1 \times \mathbf{p}_2)$	$\sigma \cdot (\mathbf{p}_1 \times \mathbf{p}_2)$

# CPT Theorem

All interactions are invariant under the successive operation of C, P and T taken in any order

Table 3.1. *Tests of the CPT theorem*

Measured quantity	Limit or value
$(M_{K^0} - M_{\bar{K}^0})/(M_{K^0} + M_{\bar{K}^0})$	$< 10^{-19}$
$(M_{e^+} - M_{e^-})/(M_{e^+} + M_{e^-})$	$< 4 \times 10^{-8}$
$(M_\Lambda - M_{\bar{\Lambda}})/(M_{\bar{\Lambda}} + M_\Lambda)$	$(-5 \pm 5) \times 10^{-6}$
$(Q_p - Q_{\bar{p}})/e$	$< 2 \times 10^{-5}$
$\left(\frac{Q_p}{M_p} - \frac{Q_{\bar{p}}}{M_{\bar{p}}}\right) / \left(\frac{Q_p}{M_p} + \frac{Q_{\bar{p}}}{M_{\bar{p}}}\right)$	$(8 \pm 6) \times 10^{-10}$
$(\mu_{e^+} - \mu_{e^-})/(\mu_{e^+} + \mu_{e^-})$	$-(3 \pm 5) \times 10^{-13}$
$(\tau_{\mu^+} - \tau_{\mu^-})/(\tau_{\mu^+} + \tau_{\mu^-})$	$< 10^{-4}$